

Gruppi di trecce

$B = A_1 \sqcup \dots \sqcup A_n \subset R^2 \times [0, 1]$ treccia con n stringhe (n -treccia)
 $\stackrel{\text{def}}{\iff} A_i$ arco ascendente (cioè $A_i \cap R_t^2 = \text{un punto } \forall t \in [0, 1]$)
 da $(i, 0, 0)$ a $(\pi_B(i), 0, 1)$ per ogni $i = 1, \dots, n$, con $\pi_B \in \Sigma_n$

Note: 1) $B \leftrightarrow \gamma_B = \gamma_1 \times \dots \times \gamma_n : [0, 1] \rightarrow R^{2n} - \Delta$ cammino
 t.c. $\{\gamma_i(0)\}_{i=1, \dots, n} = \{\gamma_i(1)\}_{i=1, \dots, n} = \{(i, 0)\}_{i=1, \dots, n}$
 dove $\Delta = \{(p_1, \dots, p_n) \in R^{2n} \mid \exists i \neq j \text{ t.c. } p_i = p_j\}$
 $\alpha_i(s) = (\gamma_i(s), s) = (x_i(s), y_i(s), s) = A_i \cap R_s^2$
 $\Rightarrow \alpha_i : [0, 1] \rightarrow R^3$ parametriz. continua di A_i

2) $B \leftrightarrow \omega_B = \pi \circ \gamma_B : [0, 1] \rightarrow (\Gamma_n R^2, *)$ cappio
 dove $\Gamma_n R^2 \stackrel{\text{def}}{=} (R^{2n} - \Delta) / \Sigma_n$ e $*$ = $\{(i, 0)\}_{i=1, \dots, n}$
 \uparrow spazio delle n -configurazioni di R^2
 $\pi : R^{2n} - \Delta \rightarrow (R^{2n} - \Delta) / \Sigma_n$ proiez. canonica
 rivestimento regolare di grado $|\Sigma_n| = n!$
 $(\Rightarrow \Gamma_n R^2$ $2n$ -varietà differenziabile)

3) $\Gamma_n R^2$ è omeomorfo a un aperto di R^{2n}
 $(\psi : \mathbb{C}^n \rightarrow \mathbb{C}^n$ definita $(z_1, \dots, z_n) \mapsto (a_1, \dots, a_n)$
 con $\Pi_i(z - z_i) = z^n + a_1 z^{n-1} + \dots + a_n$
 $\rightsquigarrow \psi / \sim : \mathbb{C}^n / \Sigma_n \cong \mathbb{C}^n$ ($\sim_\psi \Leftrightarrow \sim_{\Sigma_n}$)
 $\rightsquigarrow \Gamma_n R^2 \cong (\mathbb{C}^n - \Delta) / \Sigma_n \cong \mathbb{C}^n - \psi(\Delta)$ aperto in \mathbb{C}^n)

$B, B' \subset R^2 \times [0, 1]$ trecce equivalenti ($B \cong B'$)
 $\stackrel{\text{def}}{\iff} \exists (B_t)_{t \in [0, 1]}$ famiglia continua di trecce t.c. $B_0 = B$ e $B_1 = B'$
 $(\exists J : B \times [0, 1] \rightarrow R^2 \times [0, 1]$ cont. t.c. $j_t(B \cap R_s^2) = B_t \cap R_s^2 \forall t$)
 \uparrow deformazione della treccia B (nella treccia B')

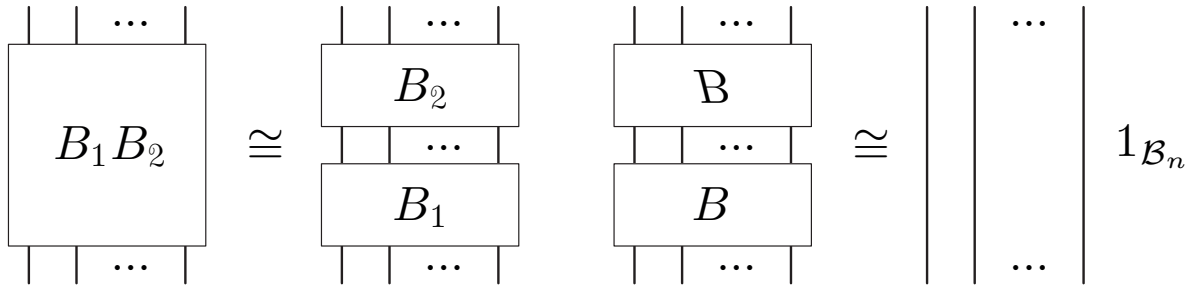
Prop. $B \cong B' \Leftrightarrow \gamma_B \simeq_{\{0,1\}} \gamma_{B'} \Leftrightarrow \omega_B \simeq_{\{0,1\}} \omega_{B'}$ (relaz. di equiv.)

Dim. primo \Leftrightarrow segue dalla definizione

secondo \Leftrightarrow segue da π rivestimento

$\mathcal{B}_n \stackrel{\text{def}}{=} \{n\text{-trecce}\} / \cong \leftrightarrow \Omega(\Gamma_n R^2) / \simeq_{\{0,1\}} = \pi_1(\Gamma_n R^2)$
 \uparrow gruppo delle n -trecce (con l'operazione che rende \leftrightarrow iso)

- Note: 1) $B_1 B_2 = (1, 1, 1/2)(B_1 \cup (B_2 + (0, 0, 1))) \quad \forall B_1, B_2 \in \mathcal{B}_n$
 2) $1_{\mathcal{B}_n} = \{(i, 0)\}_{i=1, \dots, n} \times [0, 1]$ (treccia banale)
 3) $B \rightsquigarrow B^{-1} = (1, 1, -1)B + (0, 0, 1)$ treccia inversa
 4) $\varphi_n : \mathcal{B}_n \rightarrow \Sigma_n$ epimorfismi definiti $B \mapsto \pi_B$
 $\mathcal{P}_n \stackrel{\text{def}}{=} \ker \varphi_n \subset \mathcal{B}_n$ gruppo delle n -treccie pure



- Note: 1) $\mathcal{B}_1 \cong 0$ ($\Gamma_1 R^2 \cong R^2$)
 2) $\mathcal{B}_2 \cong \mathbb{Z}$ ($\Gamma_2 R^2 \cong R^2 \times (R^2 - \{0\}) / \mathbb{Z}_2 \cong R^3 \times S^1$)
 3) \mathcal{B}_n gruppo non commutativo per $n \geq 3$
 (φ_n epimorfismo su Σ_n non commutativo)

Prop. treccie e deformazioni di treccie sono docili
 (cioè si estendono a intorni tubolari)

Dim. $\alpha_i : [0, 1] \rightarrow R^2 \times [0, 1]$ param. cont. di $A_i \subset B$
 $\rightsquigarrow \tilde{\alpha}_i : [0, 1] \times B^2 \rightarrow T_i \subset R^3$ definita $\tilde{\alpha}_i(s, x) = \alpha_i(s) + \varepsilon x$
 tale che $T = T_1 \sqcup \dots \sqcup T_n$ intorno tubolare di B
 $J : B \times [0, 1] \rightarrow R^2 \times [0, 1]$ deformazione di B
 $\rightsquigarrow \tilde{J} : T \times [0, 1] \rightarrow R^2 \times [0, 1]$ deformazione di T
 definita $\tilde{J}_t(\tilde{\alpha}_i(s, x), t) = J(\alpha_i(s), t) + \varepsilon x$

Prop. $B \cong B' \Leftrightarrow B$ e B' treccie isotope

($\exists H : \text{id}_{R^2 \times [0, 1]} \cong_{R^2 \times \{0, 1\}} h$ isotopia
 t.c. $h_t(R_s^2) = R_s^2 \quad \forall t, s \in [0, 1]$ e $h(B) = B'$)

Dim. $J : B \rightsquigarrow B'$ deform. di B in B'

- $\rightsquigarrow 0 = t_1 < \dots < t_k = 1$ t.c. $\tilde{J}(B \times [t_i, t_{i+1}]) \subset T(B_{t_i})$
 $\rightsquigarrow H_i : R^2 \times [0, 1] \times [t_i, t_{i+1}]$ estensione di $J|_{B \times [t_i, t_{i+1}]}$
 $\rightsquigarrow H = \text{concatenazione di } H_1, \dots, H_k$

Prop. 1) B treccia $\Rightarrow B \cong_\varepsilon B'$ con B' treccia liscia/poligonale

\uparrow ε -deformazione \leftrightarrow ε -isotopia

2) B, B' trecce lisce/poligonali

$B \cong B' \Leftrightarrow \exists (B_t)_{t \in [0,1]}$ deform. liscia/poligonale di B in B'
(cioè B_t trecca liscia/poligonale $\forall t \in [0, 1]$)

Dim. caso liscio: approssimazione diff. di γ_B e $\gamma_B \simeq_{0,1} \gamma_{B'}$

caso polig.: segue dal caso liscio (appr. poligonali iscritte)

$B \subset R^2 \times [0, 1]$ treccia liscia verticalmente ammissibile

$\xLeftrightarrow{\text{def}} \pi| : B \rightarrow R \times [0, 1]$ regolare (\Leftrightarrow no tang. vert.) e iniettiva eccetto un numero finito di punti doppi trasversali (\Leftrightarrow tang. distinte)

$\rightsquigarrow D \stackrel{\text{def}}{=} \pi(B) +$ sotto/sopra passaggi nei punti doppi (incroci)
 \uparrow diagramma liscio di B

$B \subset R^2 \times [0, 1]$ treccia poligonale verticalmente ammissibile

$\xLeftrightarrow{\text{def}} \pi| : B \rightarrow R \times [0, 1]$ iniettiva eccetto un numero finito di punti doppi trasv. (\Leftrightarrow no spigoli vert., pt. doppi interni a spigoli)

$\rightsquigarrow D \stackrel{\text{def}}{=} \pi(B) +$ sotto/sopra passaggi nei punti doppi (incroci)
 \uparrow diagramma poligonale di B

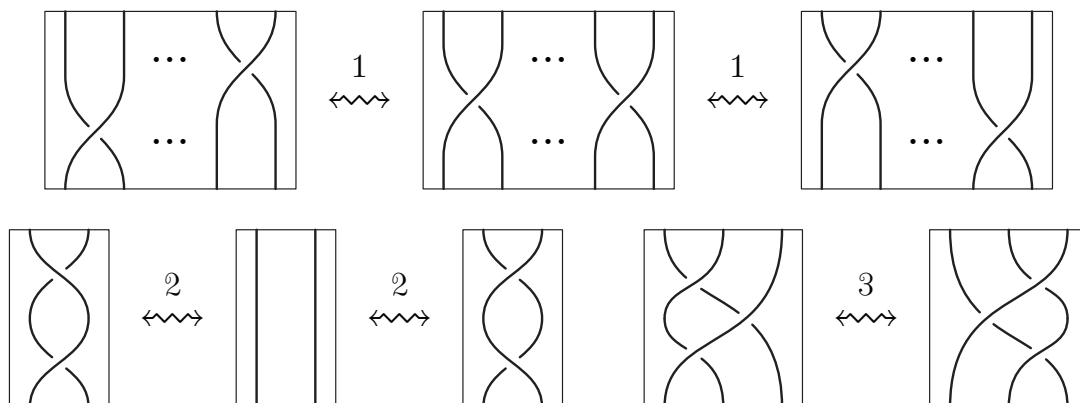
Nota: $D \subset R \times [0, 1]$ determina B a meno di isotopia verticale

(B e B' trecce verticalmente ammissibili con $D = D' \Rightarrow$

$(B_t = (1-t)B + tB')_{t \in [0,1]}$ def. docile vert. \rightsquigarrow isotopia vert.)

Prop. ogni treccia è rappresentata da un diagramma liscio/polig.

Dim. analoga a quella per i nodi docili



3) $e_n : \mathcal{B}_n \rightarrow \mathbb{Z}$ epimorfismi def. $e_n(b_{i_1}^{\varepsilon_1} \dots b_{i_k}^{\varepsilon_k}) = \varepsilon_1 + \dots + \varepsilon_k$
 (relazioni bilanciate \Rightarrow ben definiti)

Trecce e nodi

$B \subset R^2 \times [0, 1]$ treccia

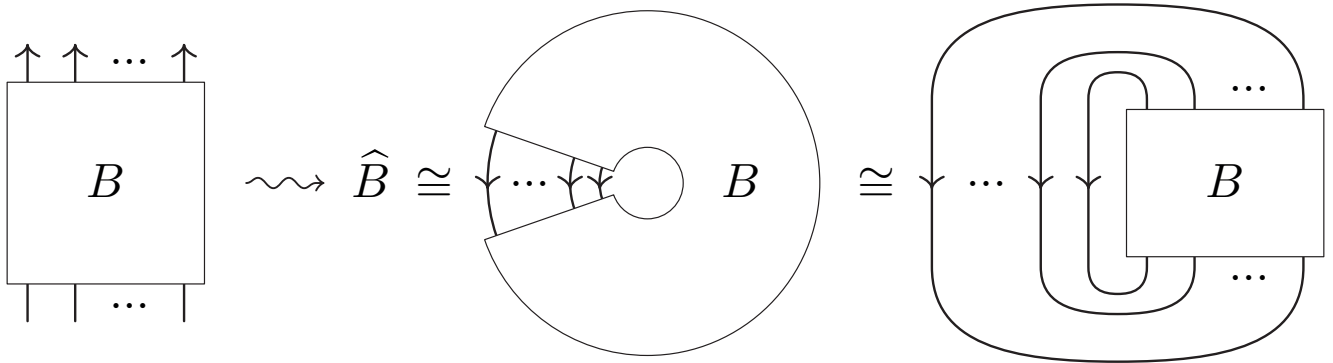
$\rightsquigarrow \widehat{B} \stackrel{\text{def}}{=} \eta(B') \subset R^3$ nodo (docile) orientato

\swarrow chiusura di B (treccia chiusa associata a B)

con $B' \cong B$ tale che $B' \subset]0, +\infty[\times R \times [0, 1]$

$\eta :]0, +\infty[\times R \times [0, 1] \rightarrow R^2 - \{0\} \times R \subset R^3$

definita $\eta(x, y, z) = (x \cos((2z - 1)\pi), x \sin((2z - 1)\pi), y)$



Note: 1) \widehat{B} ben definito a meno di \cong di nodi orientati

(non dipende da B' : $B' \cong B \cong B'' \Rightarrow \eta(B') \cong \eta(B'')$)

2) $B_1 \cong B_2 \Rightarrow \widehat{B}_1 \cong \widehat{B}_2$ come nodi orientati

(def. di trecce $B_1 \rightsquigarrow B_2 \rightsquigarrow$ def. di nodi $\widehat{B}_1 \rightsquigarrow \widehat{B}_2$)

3) $\widehat{B} \cong K \Rightarrow n(K) =$ numero cicli disgiunti di π_B

4) $B \in \mathcal{B}_n$ treccia banale $\Leftrightarrow \widehat{B} \cong n$ -nodo banale

5) $\widehat{B} \cong K, B' = B^{-1} \Rightarrow \widehat{B}' \cong -\bar{K}$ ($B' = \sigma(B) \rightsquigarrow \widehat{B} = -\sigma(\widehat{B}')$)

Esempi: 1) $B = b_1^{\pm 1} \in \mathcal{B}_2 \rightsquigarrow \widehat{B} \cong 1$ -nodo banale

2) $B = b_1^{\pm 2} \in \mathcal{B}_2 \rightsquigarrow \widehat{B} \cong H, \bar{H}$

3) $B = b_1^{\pm 3} \in \mathcal{B}_2 \rightsquigarrow \widehat{B} \cong T, \bar{T}$

4) $B = (b_1 b_2 b_1 b_2)^{\pm 1} \in \mathcal{B}_3 \rightsquigarrow \widehat{B} \cong T, \bar{T}$

5) $B = (b_1 b_2^{-1} b_1 b_2^{-1})^{\pm 1} \in \mathcal{B}_3 \rightsquigarrow \widehat{B} \cong E$

Teorema di Alexander (1923)

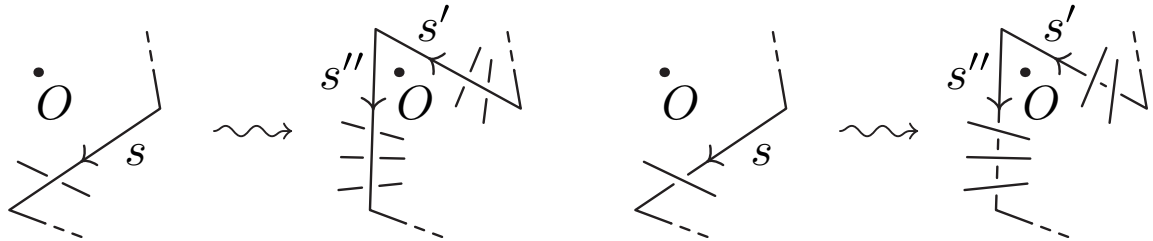
$K \subset R^3$ nodo orientato $\Rightarrow \exists B \subset R^2 \times [0, 1]$ treccia t.c. $\widehat{B} \cong K$

Dim. D diagramma poligonale di K

$O \notin D \rightsquigarrow$ spigoli positivi/negativi (rispetto a O)

suddivisione \rightsquigarrow spigolo negativo con al più un incrocio

s spigolo neg. $\rightsquigarrow s' \cup s''$ spigoli pos. sopra/sotto tutto
a seconda che s passi sopra/sotto



$K \subset R^3$ nodo orientato $\rightsquigarrow s(K) \stackrel{\text{def}}{=} \min\{n \mid K \cong \widehat{B} \text{ con } B \in \mathcal{B}_n\}$
 \uparrow
numero (minimo) di stringhe di K

Note: 1) $s(K)$ invariante isotopico per definizione

2) $s(K) \geq n(K)$ e $s(K) = n(K) \Leftrightarrow$ componenti banali

3) $s(-K) = s(K)$ ($K \cong \widehat{B} \Rightarrow -K \cong \widehat{B}'$ con $B' = \rho_\pi(B)$)

4) $s(\overline{K}) = s(K)$ (segue da nota 5 sopra)

5) $s(K_1 \sqcup K_2) = s(K_1) + s(K_2)$

($K_i \cong \widehat{B}_i \Rightarrow K_1 \sqcup K_2 \cong \widehat{B}$ con $B = B_1 \sqcup B_2$ affiancate)

6) $s(K_1 \# K_2) \leq s(K_1) + s(K_2)$

($K_i \cong \widehat{B}_i \Rightarrow K_1 \# K_2 \cong \widehat{B}$ con $B = B_1 \# B_2$ affiancate)

7) $s(K)$ non è effettivamente calcolabile

Prop. $K \subset R^3$ nodo orientato

$\Rightarrow s(K) =$ minimo numero $s(D)$ di curve di Seifert

$C_1, \dots, C_{s(D)}$ per un diagramma D di K

Dim. D diagramma di K con $s(D)$ minimo

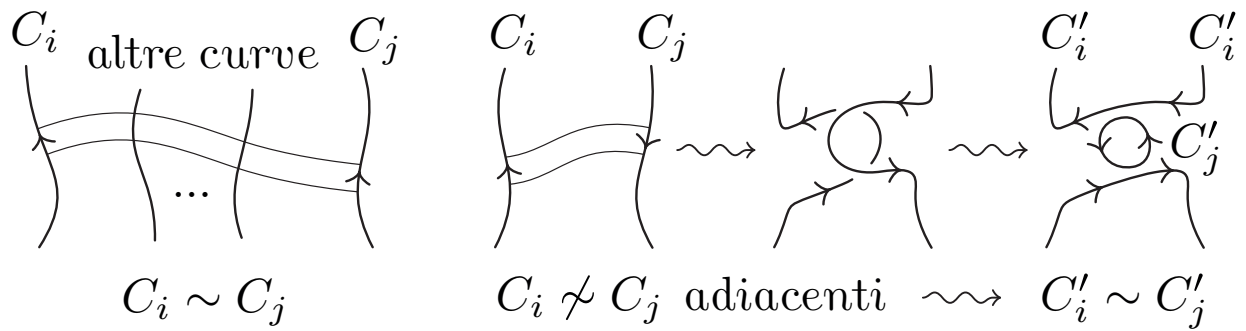
\sim relazione binaria (non equiv.) di coorientazione

sull'insieme $\{C_1, \dots, C_{s(D)}\}$ delle curve di Seifert

D con minimo numero ℓ di coppie $C_i \not\sim C_j \Rightarrow \ell = 0$

($\exists C_i \not\sim C_j \Rightarrow C_i$ e C_j si possono supporre adiacenti

$\Rightarrow D \stackrel{2}{\rightsquigarrow} D'$ tale che $C_i, C_j \rightsquigarrow C'_i \sim C'_j$)



$C_i \sim C_j \forall i, j \Rightarrow D \rightsquigarrow D'$ diagramma di $s(D)$ -treccia chiusa a meno di ribaltamento di alcuni archi
 (\exists rinum. t.c. C_i e C_{i+1} adiacenti $\forall i \leq k-1$)

$\Rightarrow s(K) \leq s(D)$ minimo

$B \in \mathcal{B}_s(K)$ tale che $K \cong \widehat{B}$

$\rightsquigarrow D$ diagramma di K con $s(K)$ curve di Seifert

$\Rightarrow s(K) \geq s(D)$ minimo

Corol. $s(K) \leq n(K) + c(K)$

Dim. D diagramma di K nodo orientato con $c(D) = c(K)$

risoluz. incrocio di $D \rightsquigarrow$ increm. numero componenti = ± 1

\Rightarrow numero curve di Seifert per $D \leq n(K) + c(K)$

Teorema di Markov (1935)

$B \in \mathcal{B}_n, B' \in \mathcal{B}_m$ trecce t.c. $\widehat{B} \cong K, \widehat{B'} \cong K'$

$K \cong K' \Leftrightarrow B \rightsquigarrow B'$ relaz. di equiv. generata da

1) $B_1 \in \mathcal{B}_\ell \rightsquigarrow B_2 = B_1 b_\ell^{\pm 1} \in \mathcal{B}_{\ell+1}$ (stabilizzazione)

2) $B_1 B_2 \rightsquigarrow B_2 B_1$ con $B_1, B_2 \in \mathcal{B}_\ell$ (\rightsquigarrow coniugio in \mathcal{B}_ℓ)

Dim. \Leftarrow) $B_2 = B_1 b_n \Rightarrow \widehat{B}_2 \rightsquigarrow \widehat{B}_1 \forall B_1 \in \mathcal{B}_\ell$ (a meno di ribaltam.)

$\widehat{B_2 B_1} \cong \widehat{B_1 B_2} \forall B_1, B_2 \in \mathcal{B}_\ell$

\Rightarrow) D, D' diagrammi poligonal di K, K'

$K \cong K' \rightsquigarrow D = D_1 \rightsquigarrow D_2 \rightsquigarrow \dots \rightsquigarrow D_k = D'$

sequenza di movimenti di Reidemeister

$\rightsquigarrow D = D'_1 \rightsquigarrow D'_2 \rightsquigarrow \dots \rightsquigarrow D'_{k'} = D'$

con $D'_1, \dots, D'_{k'}$ diagrammi di trecce chiuse

$\Rightarrow B \rightsquigarrow B'$ (mov. di Reidem. tra trecce chiuse

\rightsquigarrow relazioni + stabiliz. + coniugio)

- Note: 1) idea: $\mathcal{B}_1 \subset \mathcal{B}_2 \subset \dots \subset \mathcal{B}_n \subset \dots \subset \mathcal{B}_\infty \stackrel{\text{def}}{=} \bigcup_{n \geq 1} \mathcal{B}_n$
 \rightsquigarrow invarianti di nodi effettivamente calcolabili
- 2) stabilizzazione $\rightsquigarrow \mathcal{B}_n \rightarrow \mathcal{B}_{n+1}$ non omomorfismo
- 3) $B_1 B_2 \rightsquigarrow B_2 B_1 \rightsquigarrow$ coniugio in \mathcal{B}_n ma non commutatività
 (\rightsquigarrow relazione non compositiva)
- 4) $\text{Ab}(\mathcal{B}_n) \cong \mathbb{Z}$ ($\text{Ab}(b_i b_{i+1} b_i = b_{i+1} b_i b_{i+1}) \rightsquigarrow b_i \sim b_{i+1}$)
 $\psi : \mathcal{B}_n \rightarrow A$ omom. con A comm. $\Rightarrow \psi = a e_n$ con $a \in A$
- 5) $\varphi_n : \mathcal{B}_n \rightarrow \Sigma_n$ non tiene conto del segno degli incroci
- 6) $\beta_{n,q} : \mathcal{B}_n \rightarrow \text{GL}(K, n)$ rappresentazione di Burau
 alterazione di $\varphi_n \rightsquigarrow \beta_{n,1}$ con $q \in K - \{0\}$ definita
 $\beta_{n,q}(b_i) = I_{i-1} \oplus M_q \oplus I_{n-i-1}$ dove $M_q = \begin{pmatrix} 1 & -q & q \\ & 1 & 0 \end{pmatrix}$
 t.c. $M_q^2 + (q-1)M_q - q = 0$ (teor. di Cayley-Hamilton)

Algebre di Hecke

- K campo, $q \in K - \{0\}$
- $\rightsquigarrow F_K(t_1, \dots, t_n) \stackrel{\text{def}}{=} \{\sum_{i \leq m} a_i w_i \mid a_i \in K, w_i \in W(t_1, \dots, t_n), m \geq 1\}$
 \hookleftarrow K -algebra libera non commutativa generata da t_1, \dots, t_n
- $\rightsquigarrow I_{n,q} \stackrel{\text{def}}{=}$ ideale bilatero di $F_K(t_1, \dots, t_{n-1})$
 generato da: $t_i^2 + (q-1)t_i - q \quad \forall 1 \leq i \leq n-1$
 $t_i t_j - t_j t_i \quad \forall 1 \leq i < i+1 < j \leq n-1$
 $t_i t_{i+1} t_i - t_{i+1} t_i t_{i+1} \quad \forall 1 \leq i \leq n-2$
- $\rightsquigarrow H_{n,q} \stackrel{\text{def}}{=} F_K(t_1, \dots, t_{n-1}) / I_{n,q}$
 \hookleftarrow K -algebra di Hecke di ordine $n \geq 1$

- Note: 1) $H_{1,q} \cong K$, $H_{2,q} \cong K[t] / (t^2 + (q-1)t - q)$
- 2) $H_{n,q} \subset H_{n+1,q}$ (indotta da $\{t_1, \dots, t_{n-1}\} \subset \{t_1, \dots, t_n\}$)
- 3) t_i invertibile con $t_i^{-1} = q^{-1}t_i - q^{-1} + 1$ (prime relazioni)

Prop. $\eta_{n,q} : H_{n,q} \oplus (H_{n,q} \otimes_{H_{n-1,q}} H_{n,q}) \rightarrow H_{n+1,q}$ applicazione
 definita $\eta_{n,q}(a, \sum_i b_i \otimes c_i) = a + \sum_i b_i t_n c_i \quad \forall a, b_i, c_i \in H_{n,q}$
 è un isomorfismo di $H_{n,q}$ -moduli bilateri per ogni $n \geq 1$
 $\dim_K H_{n,q} \oplus (H_{n,q} \otimes_{H_{n-1,q}} H_{n,q}) = \dim_K H_{n+1,q} = (n+1)!$

Dim. induz. su $n \geq 1$ ($H_{1,q} \cong K$ e $H_{2,q} \cong K_1[t] = \{a + bt \mid a, b \in K\}$)

$\eta_{n,q}$ applicazione ben definita

($\eta_{n,q}$ bilineare su $b \otimes c$ con $b, c \in H_{n,q}$)

$$\eta_{n,q}(bh \otimes c) = \eta_{n,q}(b \otimes hc) \quad \forall b, c \in H_{n,q} \quad \forall h \in H_{n-1,q}$$

$\eta_{n,q}$ omomorfismo di $H_{n,q}$ -bimoduli

($\eta_{n,q}$ K -lineare e $H_{n,q}$ -lineare sul fattore $H_{n,q}$)

$$\left. \begin{aligned} \eta_{n,q}(h(b \otimes c)) &= h \eta_{n,q}(b \otimes c) \\ \eta_{n,q}((b \otimes c)h) &= \eta_{n,q}(b \otimes c)h \end{aligned} \right\} \quad \forall b, c \in H_{n,q} \quad \forall h \in H_{n,q}$$

$\eta_{n,q}$ applicazione suriettiva

($w \in W(t_1, \dots, t_n) \Rightarrow w \sim \sum_i a_i w_i$ con al più un t_n in ogni w_i)

$$\text{infatti: } t_n h t_n \sim h t_n^2 \sim (1 - q) h t_n + q h \quad \forall h \in H_{n-1,q}$$

$$t_n h' t_{n-1} h'' t_n \sim h' t_{n-1} t_n t_{n-1} h'' \quad \forall h', h'' \in H_{n-1,q}$$

$$\Rightarrow t_n h t_n \sim \sum_i a_i w_i \text{ come sopra } \quad \forall h \in H_{n,q}$$

$\dim_K H_{n,q} \oplus (H_{n,q} \otimes_{H_{n-1,q}} H_{n,q}) = \dim_K H_{n+1,q} \Rightarrow \eta_{n,q}$ iso

$$\begin{aligned} (\dim_K H_{n,q} = n! \Rightarrow \dim_K H_{n,q} \oplus (H_{n,q} \otimes_{H_{n-1,q}} H_{n,q}) &= (n+1)!) \\ \Rightarrow \dim_K H_{n+1,q} &\leq (n+1)! \end{aligned}$$

$$S_i = \{1, t_i, t_i t_{i-1}, \dots, t_i t_{i-1} \dots t_1\} \text{ con } i = 1, \dots, n$$

$$\rightsquigarrow \{h = h_1 h_2 \dots h_n \mid h_i \in S_i\} \text{ } K\text{-lin. indep. (} K\text{-base) in } H_{n+1,q}$$

$$\Rightarrow \dim H_{n+1,q} = (n+1)!$$

Nota: $b_i \mapsto t_i \rightsquigarrow \rho_{n,q} : B_n \rightarrow H_{n,q}$ omom. multipl. $\forall n \geq 1, q \neq 0$

(relazioni di $B_n \leftrightarrow$ relazioni moltiplicative in $H_{n,q}$)

$z \in K - \{0\} \rightsquigarrow \{\text{Tr}_{n,z} : H_{n,q} \rightarrow K\}_{n \geq 1}$ tracce definite per induz.

$$1) \text{Tr}_{1,z} \stackrel{\text{def}}{=} \text{id}_K : H_{1,q} \cong K \rightarrow K$$

$$2) \text{Tr}_{n+1,z}(a + \sum_i b_i t_n c_i) \stackrel{\text{def}}{=} \text{Tr}_{n,z}(a) + z \text{Tr}_{n,z}(\sum_i b_i c_i)$$

$$\forall a + \sum_i b_i t_n c_i \in H_{n+1,q} \text{ con } a, b_i, c_i \in H_{n,q}$$

Prop. $\{\text{Tr}_{n,z} : H_{n,q} \rightarrow K\}_{n \geq 1}$ unica famiglia di forme K -lineari

$$\text{t.c. } 1) \text{Tr}_{n,z}(1) = 1$$

$$2) \text{Tr}_{n+1,z} \text{ estensione di } \text{Tr}_{n,z}$$

$$3) \text{Tr}_{n+1,z}(h_1 t_n h_2) = z \text{Tr}_{n,z}(h_1 h_2) \quad \forall h_1, h_2 \in H_{n,q}$$

$$4) \text{Tr}_{n,z}(h_1 h_2) = \text{Tr}_{n,z}(h_2 h_1) \quad \forall h_1, h_2 \in H_{n,q}$$

Dim. proprietà 1,2,3 \leftrightarrow definizione

proprietà 4 banale per $n = 1$, induzione per $n > 1$

$$a, a' \in H_{n-1,q} \Rightarrow \text{Tr}_{n,z}(aa') = \text{Tr}_{n,z}(a'a)$$

$$a, b', c' \in H_{n-1,q} \Rightarrow \text{Tr}_{n,z}(a(b't_{n-1}c')) = \text{Tr}_{n,z}((b't_{n-1}c')a)$$

$$\Rightarrow \text{Tr}_{n,z}(h_1h_2) = \text{Tr}_{n,z}(h_2h_1) \quad \forall h_1 \in H_{n-1,q}, h_2 \in H_{n,q}$$

$$a, b \in H_{n-1,q} \Rightarrow \text{Tr}(at_{n-1}bt_{n-1}) = \text{Tr}(bt_{n-1}at_{n-1})$$

$$\begin{aligned} b, c, b', c' \in H_{n-1,q} \Rightarrow \text{Tr}_{n,z}((bt_{n-1}c)(b't_{n-1}c')) \\ &= \text{Tr}_{n,z}(c'bt_{n-1}cb't_{n-1}) \\ &= \text{Tr}_{n,z}(cb't_{n-1}c'bt_{n-1}) \\ &= \text{Tr}_{n,z}((b't_{n-1}c')(bt_{n-1}c)) \end{aligned}$$

$$\Rightarrow \text{Tr}_{n,z}(h_1h_2) = \text{Tr}_{n,z}(h_2h_1) \quad \forall h_1, h_2 \in H_{n,q}$$

Note: 1) $t_it_{i-1} \dots t_{i-k+1} \in S_i \subset H_{n,q} \rightsquigarrow \text{Tr}_{n,z}(t_it_{i-1} \dots t_{i-k+1}) = z^k$

$$2) \text{Tr}_{n,z}(t_it_{i+1}t_i^{-1}) = \text{Tr}_{n,z}(t_i^{-1}t_it_{i+1}) = \text{Tr}_{n,z}(t_{i+1}) = z$$

$$3) \text{Tr}_{n,z}(t_it_{i+1}t_i^{-1}t_{i+1}^{-1}) \neq \text{Tr}_{n,z}(t_it_i^{-1}t_{i+1}t_{i+1}^{-1}) = \text{Tr}_{n,z}(1) = 1$$

$$B \in \mathcal{B}_n \rightsquigarrow T_B(q, z) \stackrel{\text{def}}{=} \text{Tr}_{n,z}(\rho_{n,q}(B)) \in \mathbb{Z}[q^{\pm 1}, z]$$

Prop. 1) $T_{Bb_n}(q, z) = zT_B(q, z) \quad \forall B \in \mathcal{B}_n$

$$2) T_{Bb_n^{-1}}(q, z) = q^{-1}(q + z - 1)T_B(q, z) \quad \forall B \in \mathcal{B}_n$$

$$3) T_{B_1B_2}(q, z) = T_{B_2B_1}(q, z) \quad \forall B_1, B_2 \in \mathcal{B}_n$$

Dim. 1) $T_{Bb_n}(q, z) = \text{Tr}_{n+1,z}(\rho_{n+1,q}(Bb_n)) = \text{Tr}_{n+1,z}(\rho_{n,q}(B)t_n)$
 $= z \text{Tr}_{n,z}(\rho_{n,q}(B)) = zT_B(q, z)$

$$\begin{aligned} 2) T_{Bb_n^{-1}}(q, z) &= \text{Tr}_{n+1,z}(\rho_{n+1,q}(Bb_n^{-1})) = \text{Tr}_{n+1,z}(\rho_{n,q}(B)t_n^{-1}) \\ &= \text{Tr}_{n+1,z}(\rho_{n,q}(B)(q^{-1}t_n - q^{-1} + 1)) \\ &= (q^{-1}z - q^{-1} + 1)\text{Tr}_{n+1,z}(\rho_{n,q}(B)) \\ &= q^{-1}(q + z - 1)T_B(q, z) \end{aligned}$$

$$\begin{aligned} 3) T_{B_1B_2}(q, z) &= \text{Tr}_{n,z}(\rho_{n,q}(B_1)\rho_{n,q}(B_2)) \\ &= \text{Tr}_{n,z}(\rho_{n,q}(B_2)\rho_{n,q}(B_1)) = T_{B_2B_1}(q, z) \end{aligned}$$

$K \subset R^3$ nodo orientato, $K \cong \widehat{B}$ con $B \in \mathcal{B}_{n(B)}$

$$\rightsquigarrow U_K(q, z) \stackrel{\text{def}}{=} c_B(q, z) T_B(q, z)$$

$$\text{con } c_B(q, z) = z \frac{1-n(B)-e(B)}{2} (q^{-1}(q+z-1)) \frac{1-n(B)+e(B)}{2}$$

Note: 1) $U_K(q, z) \in \mathbb{Z}[q^{\pm 1/2}, z^{\pm 1/2}]$ ben definito (non dipende da B)
invariante isotopico del nodo orientato K

(segue dal teorema di Markov e dalla prop. sopra)

2) K banale $\Leftrightarrow U_K(q, z) = (qz^{-1}(q+z-1)^{-1})^{(n(K)-1)/2}$
($e(1_{\mathcal{B}_{n(K)}}) = 0$, $n(1_{\mathcal{B}_{n(K)}}) = n(K)$, $\text{Tr}_{n,z} \rho_{n,q}(1_{\mathcal{B}_{n(K)}}) = 1$)

Prop. $a^{-1}U_{K_+}(q, z) - aU_{K_-}(q, z) = bU_{K_0}(q, z)$
con $a = z^{-1/2}(q+z-1)^{1/2}$, $b = q^{-1/2} - q^{1/2}$

Dim. possiamo supporre $K_0 \cong \widehat{B}$ e $K_{\pm} = \widehat{B}_{\pm}$ con $B_{\pm} = Bb_{n(B)-1}^{\pm 1}$
 $c_{B_{\pm}}(q, z) = z^{\mp 1/2}(q^{-1}(q+z-1))^{\pm 1/2}c_B(q, z)$

$$\begin{aligned} \Rightarrow a^{\mp 1}U_{K_{\pm}}(q, z) &= z^{\pm 1/2}(q+z-1)^{\mp 1/2}c_{B_{\pm}}(q, z)T_{B_{\pm}}(q, z) \\ &= q^{\mp 1/2}c_B(q, z)\text{Tr}_{n(B),z}(\rho_{n(B),q}(Bb_{n(B)-1}^{\pm 1})) \\ &= c_B(q, z)\text{Tr}_{n(B),z}(q^{\mp 1/2}t_{n(B)-1}^{\pm 1}\rho_{n(B),q}(B)) \end{aligned}$$

$$q^{-1/2}t_i - q^{1/2}t_i^{-1} = q^{-1/2}t_i - q^{1/2}(q^{-1}t_i - q^{-1} + 1) = q^{-1/2} - q^{1/2}$$

$$\begin{aligned} \Rightarrow a^{-1}U_{K_+}(q, z) - aU_{K_-}(q, z) &= b c_B(q, z)\text{Tr}_{n(B),z}(\rho_{n(B),q}(B)) \\ &= b c_B(q, z)T_B(q, z) = bU_{K_0}(q, z) \end{aligned}$$

Polinomio di Jones

$K \subset R^3$ nodo orientato

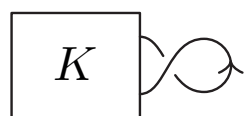
$\rightsquigarrow W_K(x, y) = U_K(q, z)$ con $x = z^{-1/2}(q+z-1)^{1/2}$, $y = q^{-1/2} - q^{1/2}$
 \hookrightarrow polinomio di Jones in due variabili del nodo orientato K

Prop. $W_K(x, y)$ è univocamente determinato da $W_{S^1}(x, y) = 1$
e $x^{-1}W_{K_+}(x, y) - xW_{K_-}(x, y) = yW_{K_0}(x, y)$

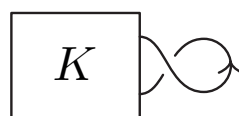
\hookrightarrow equaz. caratteristica del polinomio di Jones in due var.

Dim. prop. sopra + sostituzione \rightsquigarrow equazione caratteristica

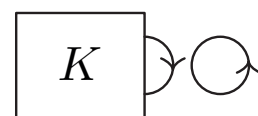
$$\text{equaz. caratteristica} \Rightarrow W_{\widehat{K}}(x, y) = (x^{-1} - x)y^{-1}W_K(x, y)$$



$$K_+ \cong K$$



$$K_- \cong K$$



$$K_0 \cong \widehat{K}$$

$W_{S^1}(x, y) = 1 \Rightarrow W_K(x, y) = ((x^{-1} - x)y^{-1})^{n(K)-1} \forall K$ banale
 $\rightsquigarrow W_K(x, y)$ (doppia induz. su $c(D)$ e $u(D)$, D diagr. di K)

- Note: 1) $W_K(x, y) \in \mathbb{Z}[x^{\pm 1}, y^{\pm 1}]$ invar. isotop. del nodo orient. K
 t.c. $V_K(x) = W_K(x, x^{1/2} - x^{-1/2})$ (equaz. caratteristiche)
- 2) $W_K(x, y)$ contiene solo termini di grado (totale) pari
 e di grado $\equiv_2 n(K) - 1$ separatamente rispetto a x e y
 (equaz. caratteristica e $n(K_+) = n(K_-) = n(K_0) \pm 1$)
- 3) equaz. caratteristica \leadsto algoritmo per calcolare $W_K(x, y)$

- Note: 1) $W_{-K}(x, y) = W_K(x, y)$ ($(-K)_{\pm, 0} = -(K_{\pm, 0})$)
 $\Rightarrow W_K(x, y)$ non dipende dall'orient. per K connesso
- 2) $W_{\bar{K}}(x, y) = W_K(x^{-1}, -y)$ ($\bar{K}_{\pm, 0} = \overline{K_{\mp, 0}}$)
- 3) $W_{K_1 \sqcup K_2}(x, y) = (x^{-1} - x)y^{-1}W_{K_1}(x, y)W_{K_2}(x, y)$
 ($K_1 \sqcup$ banale $\leadsto K_1 \sqcup K_2$ con $(K_1 \sqcup K_2)^{\pm, 0} = K_1 \sqcup K_2^{\pm, 0}$)
- 4) $W_{K_1 \# K_2}(x, y) = W_{K_1}(x, y)W_{K_2}(x, y)$
 ($W_{K_1 \# K_2}(x, y) = (x^{-1} - x)^{-1}yW_{K_1 \sqcup K_2}(x, y)$)

